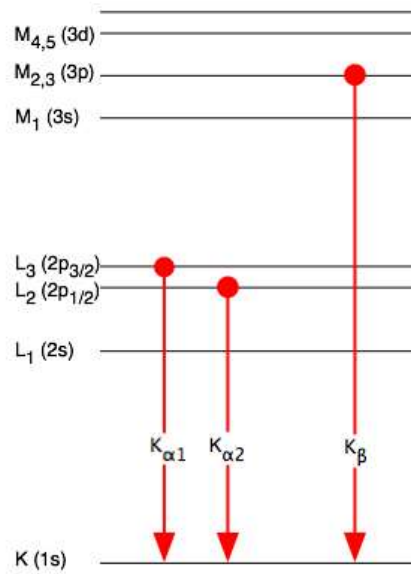
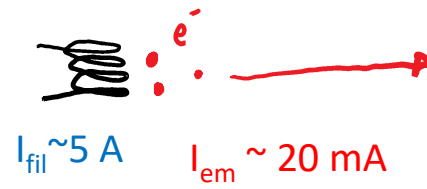


Sorgente X di laboratorio

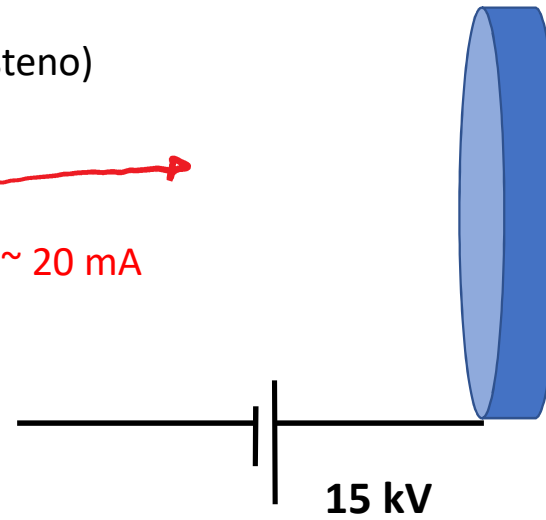




Filamento (W, tungsteno)



Target (Al, Cu, Mg)



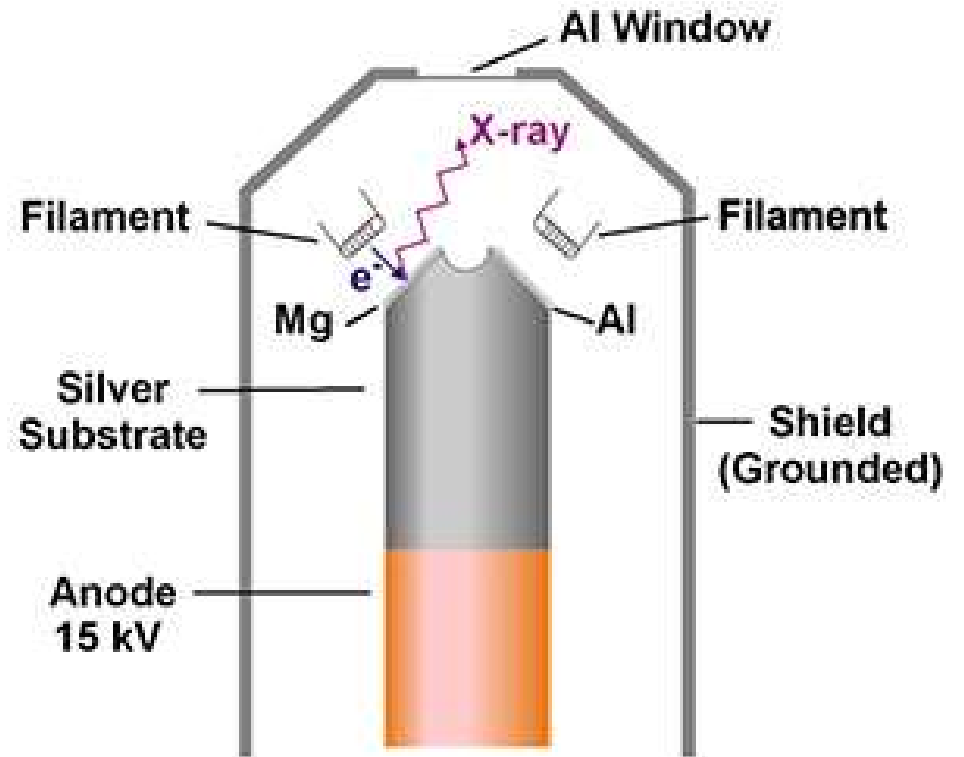
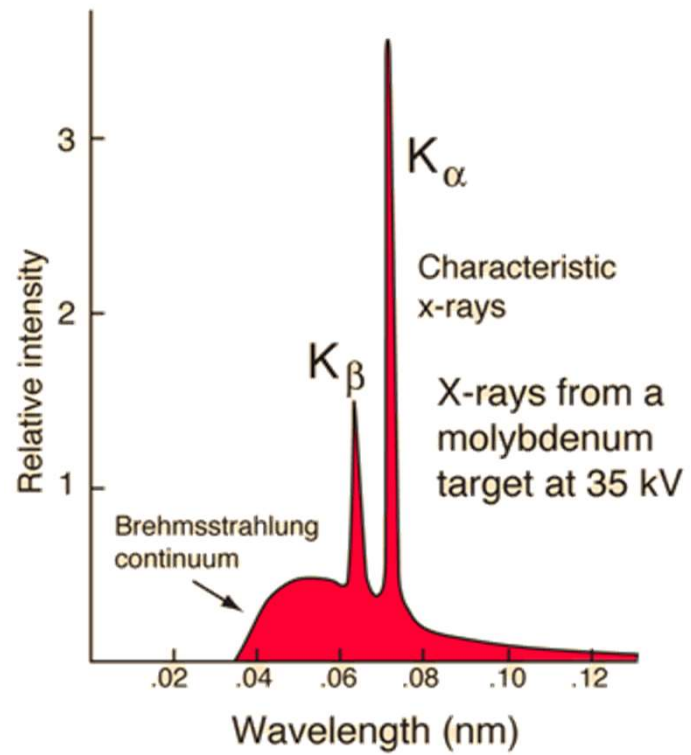


Table 1-3. Energies and intensities of x-ray emission lines (continued).

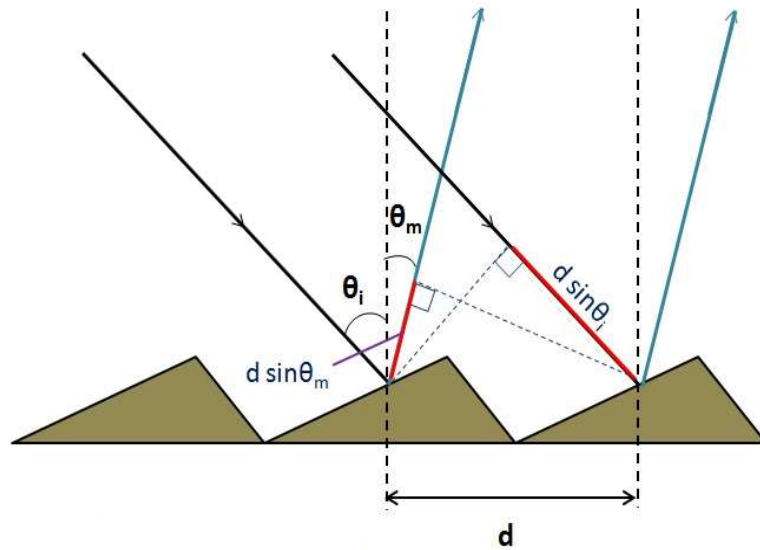
Energy (eV)	Element	Line	Relative intensity
1,131	63 Eu	M α_1	100
1,185	64 Gd	M α_1	100
1,188.0	32 Ge	L $\alpha_{1,2}$	111
1,204.4	34 Se	Ll	6
1,218.5	32 Ge	L β_1	60
1,240	65 Tb	M α_1	100
1,253.6	12 Mg	K $\alpha_{1,2}$	150
1,282.0	33 As	L $\alpha_{1,2}$	111
1,462	69 Tm	M α_1	100
1,480.4	35 Br	L $\alpha_{1,2}$	111
1,482.4	37 Rb	Ll	5
1,486.3	13 Al	K α_2	50
1,486.7	13 Al	K α_1	100
1,521.4	70 Yb	M α_1	100
1,525.9	35 Br	L β_1	59
1,557.4	13 Al	K β_1	1
1,581.3	71 Lu	M α_1	100
1,582.2	38 Sr	Ll	5
1,740.0	14 Si	K α_1	100
1,752.2	37 Rb	L β_1	58
1,775.4	74 W	M α_1	100
1,792.0	40 Zr	Ll	5
1,804.7	38 Sr	L α_2	11
1,806.6	38 Sr	L α_1	100
1,835.9	14 Si	K β_1	2
1,842.5	75 Re	M α_1	100
1,871.7	38 Sr	L β_1	58
1,902.2	41 Nb	Ll	5

<https://xdb.lbl.gov/>

Reticolo di diffrazione

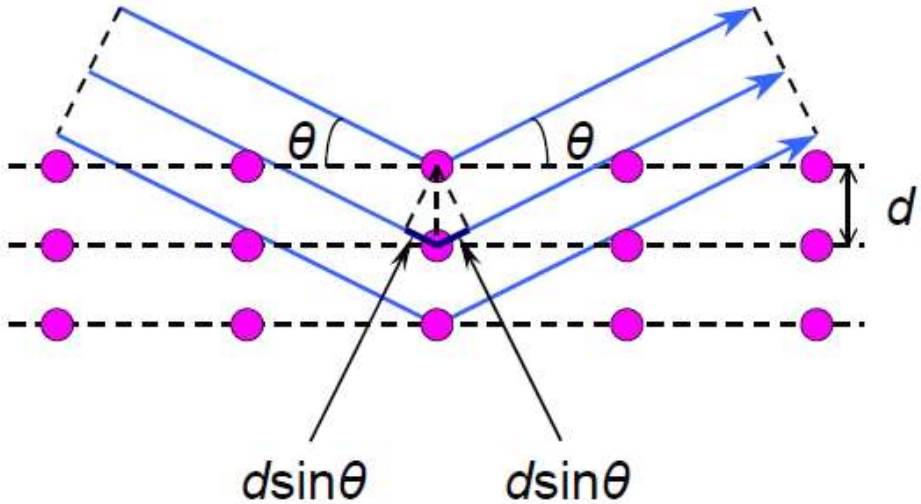
Ogni gradino del reticolo diventa una sorgente che riflette il fronte d'onda incidente. La differenza di cammino ottico tra il fascio riflesso da due gradini adiacenti è, dalla figura, $d(\sin\theta_m - \sin\theta_i)$. Per lunghezze d'onda tali che $n\lambda = d(\sin\theta_m - \sin\theta_i)$ avrò interferenza costruttiva nella direzione individuata da θ_m .

Questo sistema è adatto a monocromatizzare luce nell'UV/soft X (fino ad energie di 1800-2000 eV).



Come monocromatizzare i raggi X?

Si utilizzano dei cristalli (ad esempio di Si, Ge...) e si sfrutta la diffrazione alla Bragg dai loro piani cristallini



$$2d(\text{\AA}) \sin(\theta) = n\lambda(\text{\AA}) = n \frac{12.4}{E(\text{keV})}$$

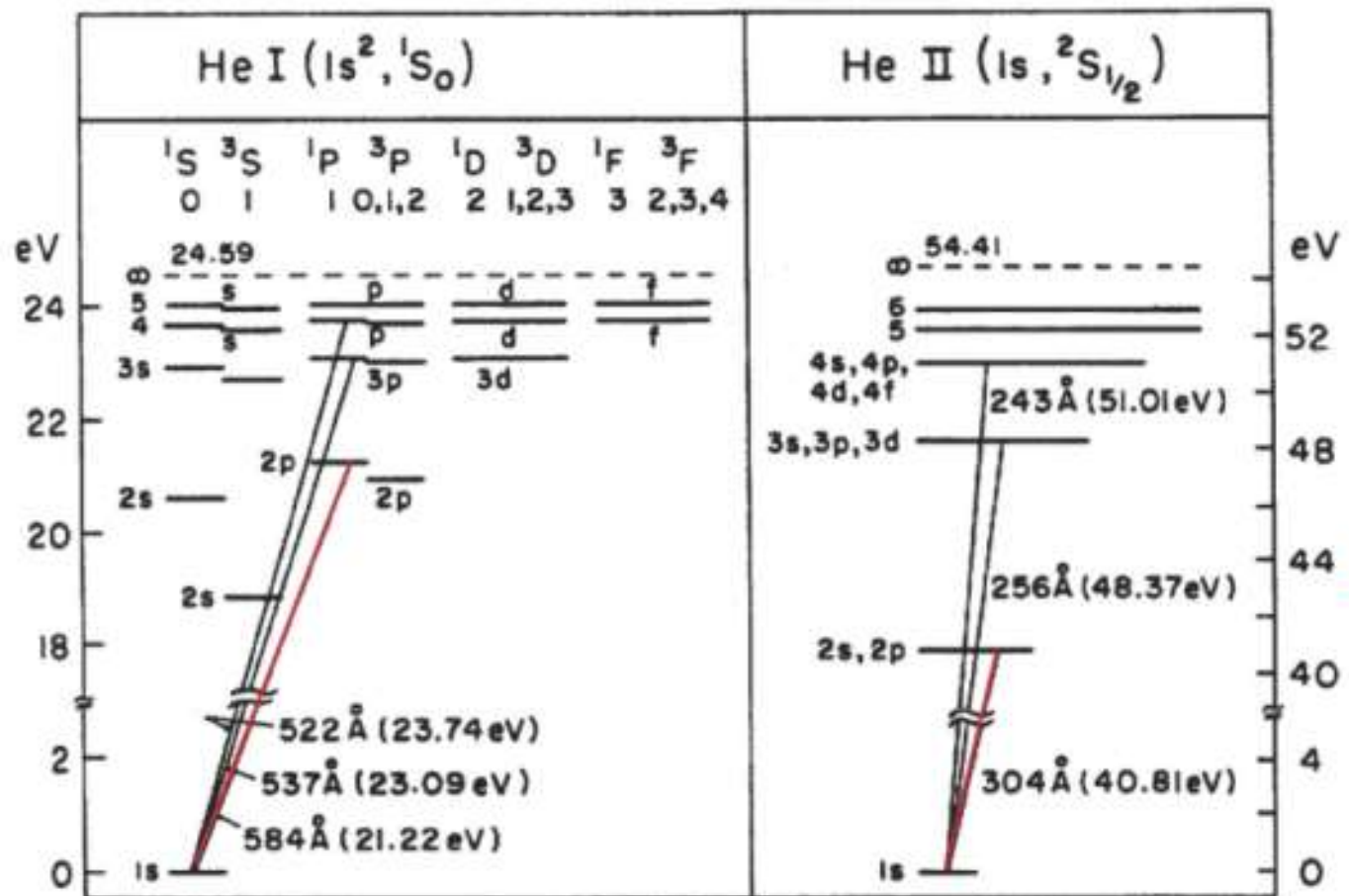
Crystal	Lithium fluoride			Quartz		Indium Antimonide	Silicon		Germanium		Pentaerythritol PET	Ammonium Dihydrogen Phosphate ADP
Chemical Formula	LiF			SiO ₂		InSb	Si		Ge		C(CH ₂ OH) ₂	NH ₄ H ₂ PO ₄
Crystal system	Cubic			Hexagonal		Cubic	Cubic		Cubic		Quadratic	Quadratic
Parameters												
a.....Å....	4.027			4.913		6.48	5.431		5.658		6.16	7.530
b.....Å....				4.913							6.16	7.530
c.....Å....				5.405							8.74	7.542
β.....												
Reflecting planes orientations	(200)	(220)	(420)	(1011)	(1010)	(111)	(111)	(220)	(111)	(220)	(002)	(101)
2d in Å	4.027	2.848	1.801	6.684	8.514	7.480	6.271	3.840	6.532	4.000	8.740	10.648
Usual surface finish	Cleaved or Treated	Treated	Treated	Polished	Polished	Polished	Polished	Polished	Polished	Polished	Cleaved or Treated	Polished or Treated
Reflectivity	Intense	Intense	Average	Good	Good	Intense	Intense	Average	Intense	Intense	Intense	Average

<https://www.crystals.saint-gobain.com/products/x-ray-monochromators>

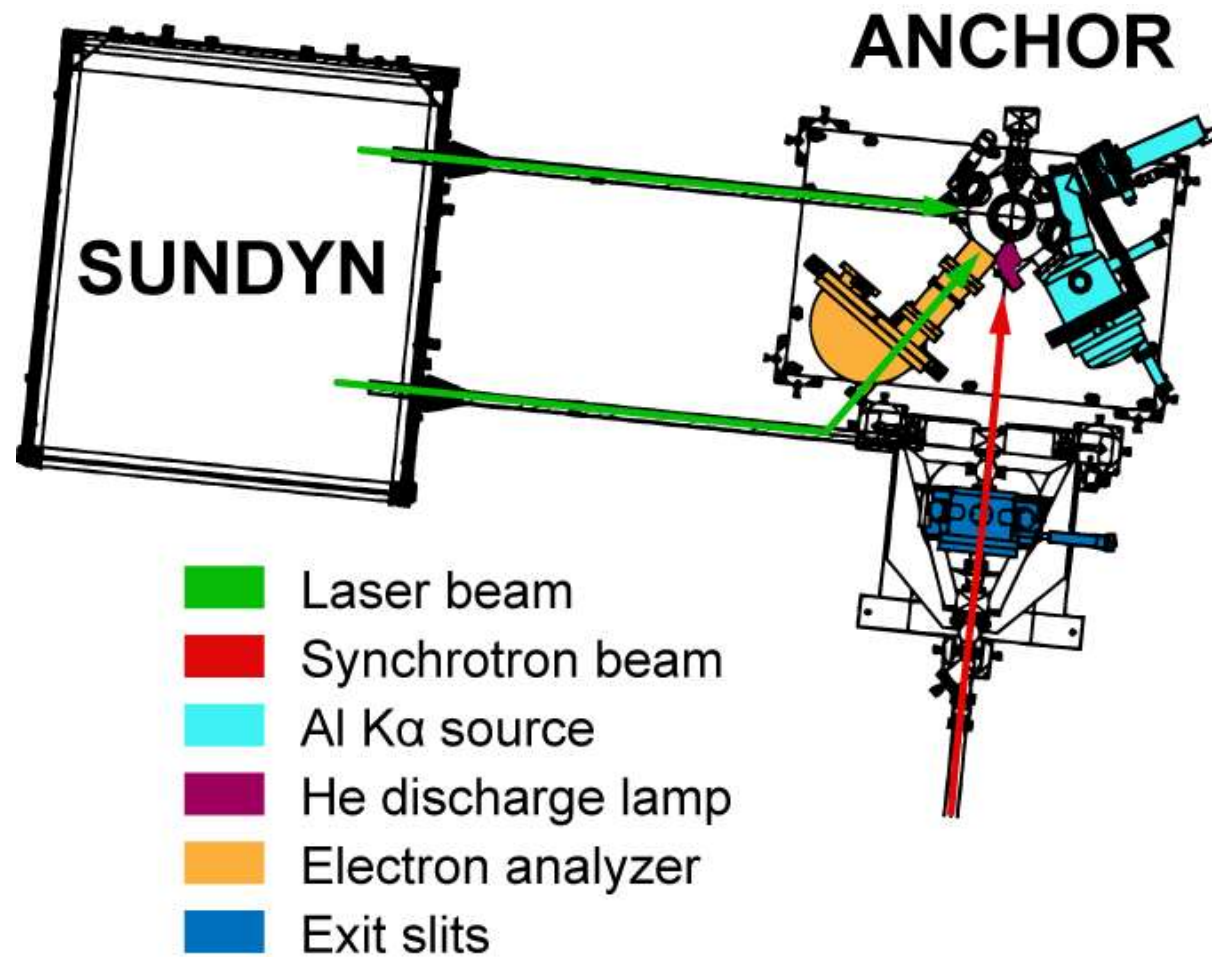


Lampada di Elio (Discharge Helium Lamp)





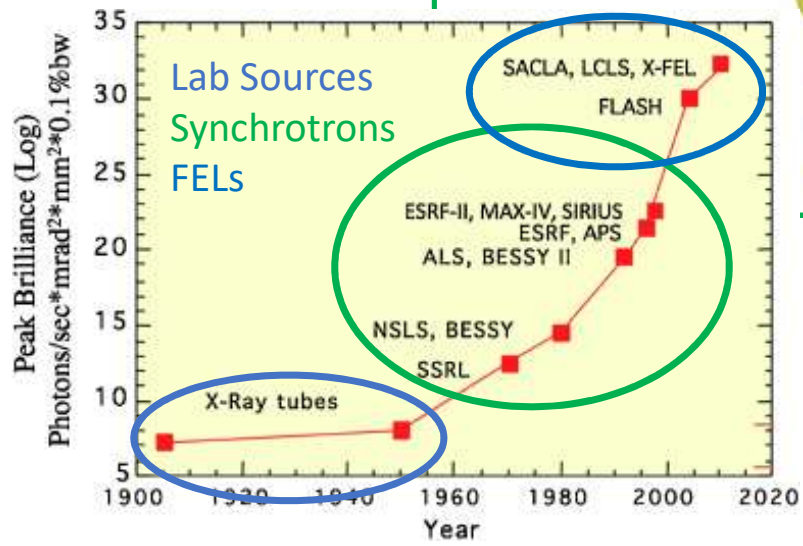
	Energy [eV]	Satellite shift [eV]	Relative Intensity [%]
He I α	21.22	0	100
He I β	23.09	1.87	1.5
He I γ	23.74	2.52	0.5
He II α	40.81	0	100
He II β	48.37	7.56	<10
He II γ	51.02	10.2	<1



X-Ray Sources



M. E. Couprie, J. Elect. Spec. Rel. Phen. 196 (2014) 3



W. Eberhardt, J. Elect Spec. Rel Phen. 200 (2015) 31

Elettra Synchrotron

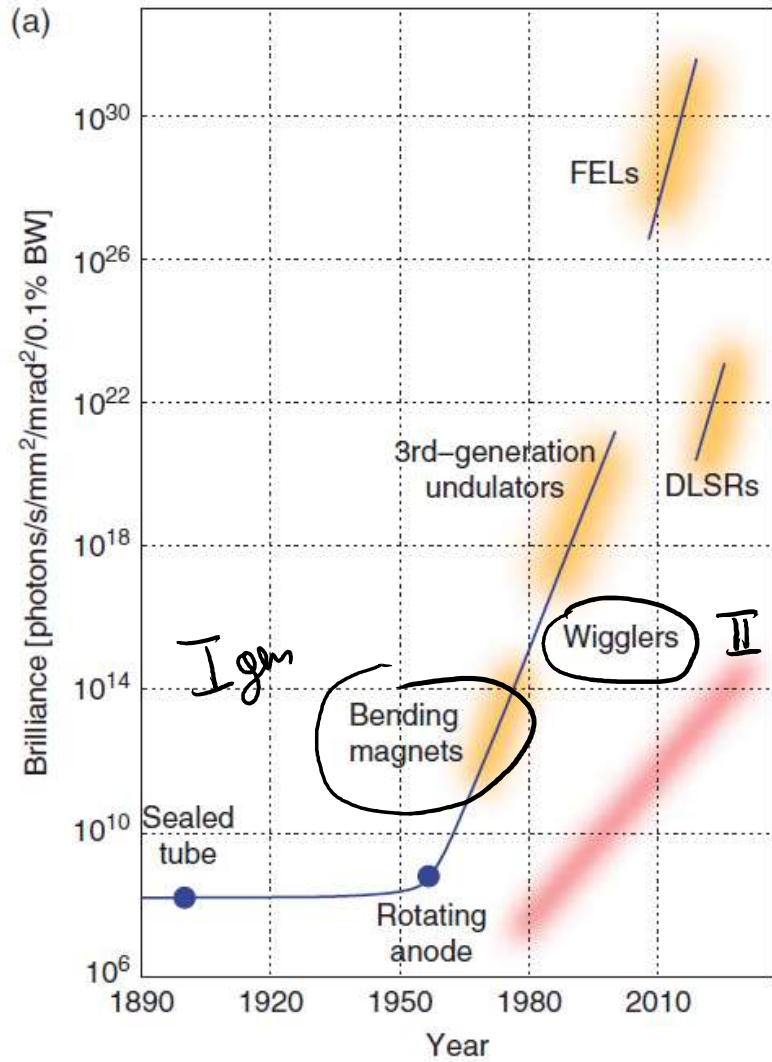


Elettra Sincrotrone Trieste

USER FACILITY



ELETTRA: 28 beamlines in cooperation with national and international institutions



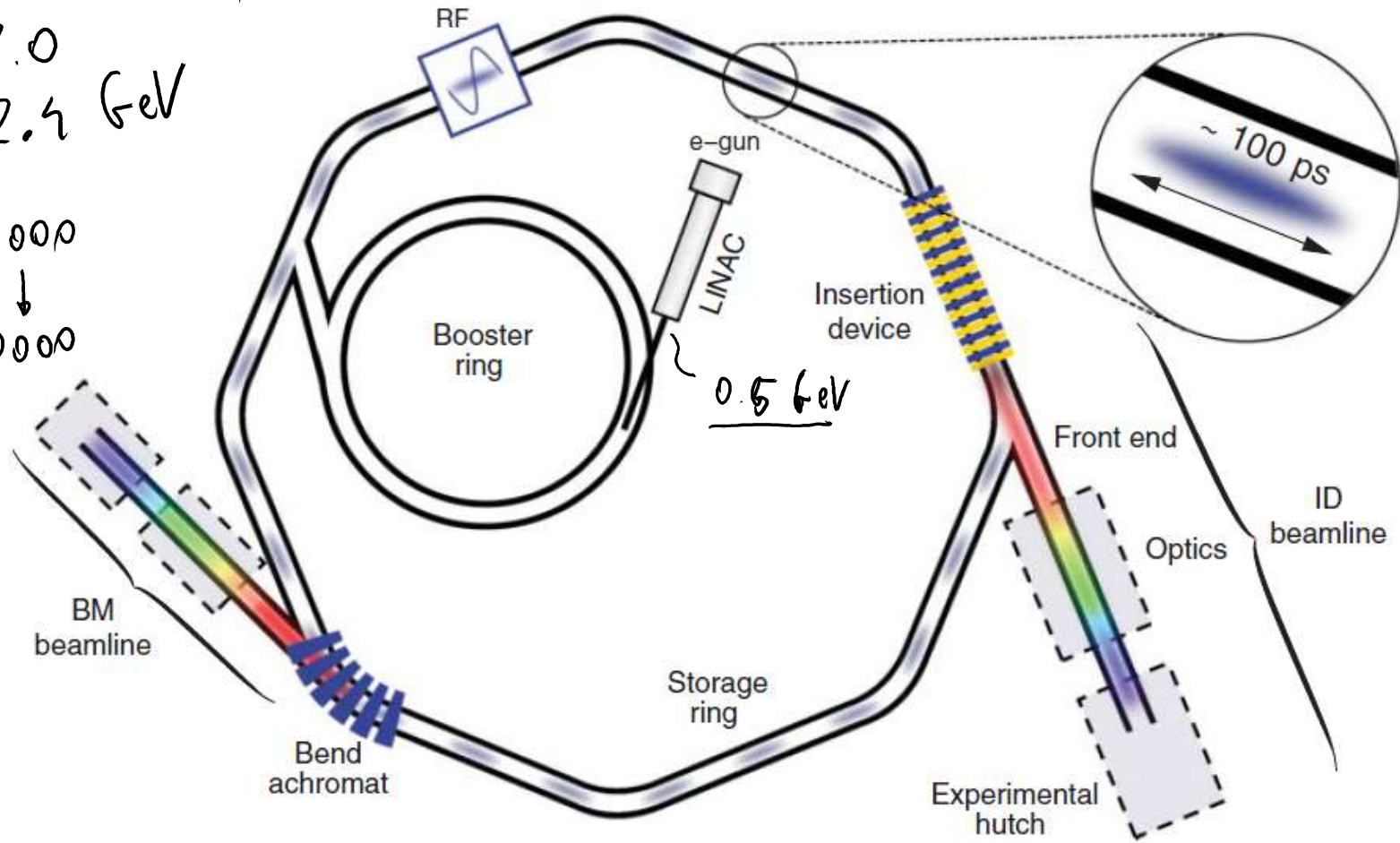
Free Electron Laser

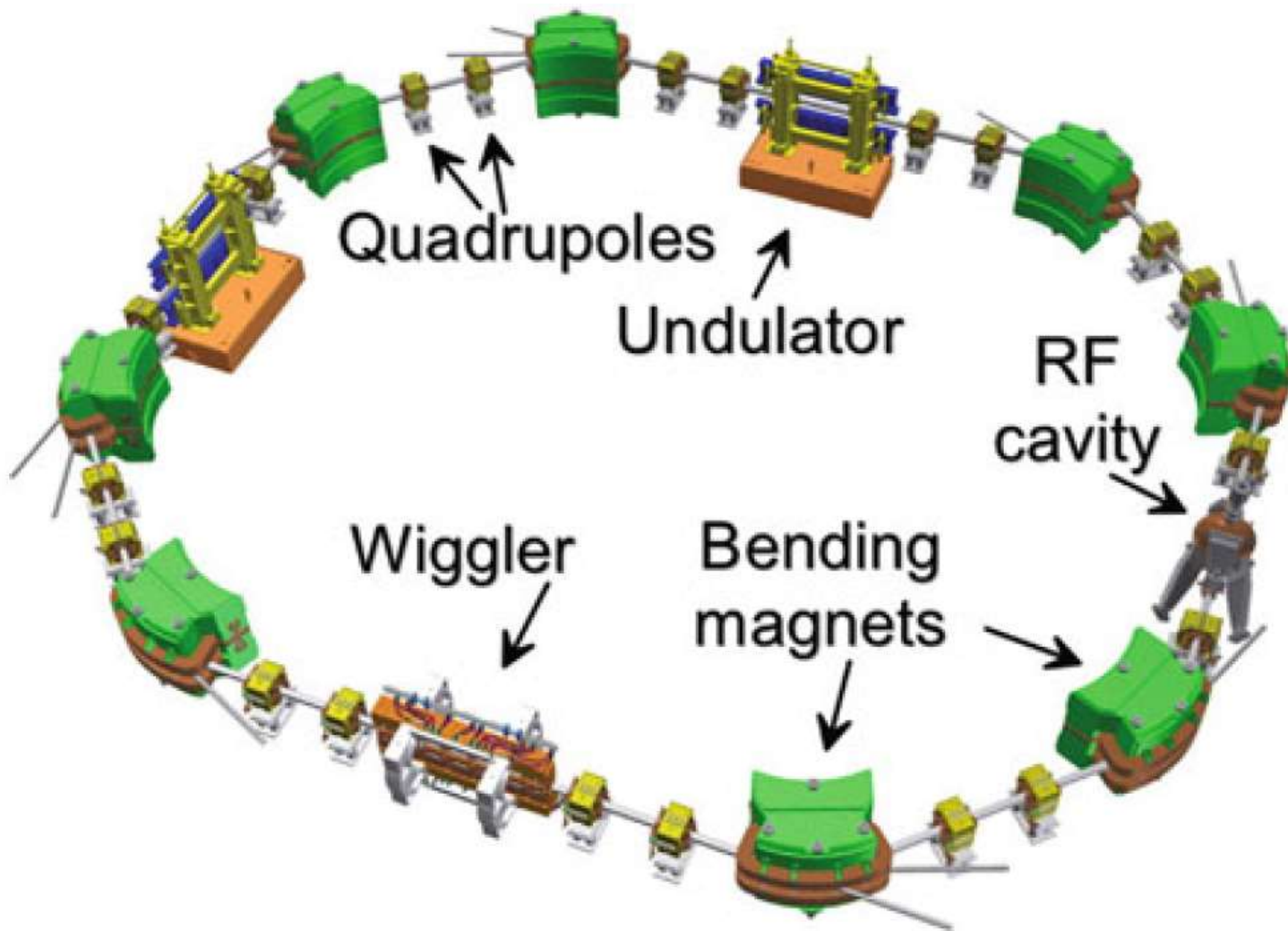
Diffraction Limited Storage Ring

energia e- nell'anello

E_{elina} : 2.0
2.4 GeV

$$\gamma = \frac{E}{m c^2} \approx \begin{matrix} 4000 \\ \downarrow \\ 10000 \end{matrix}$$





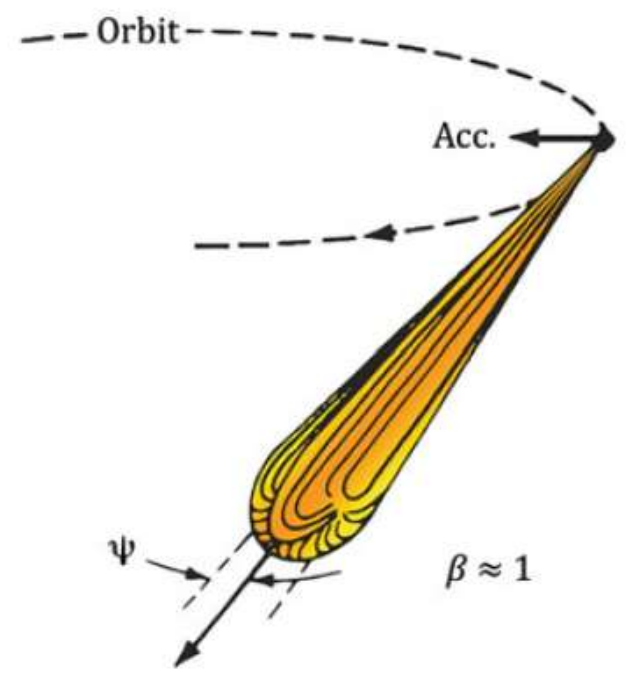
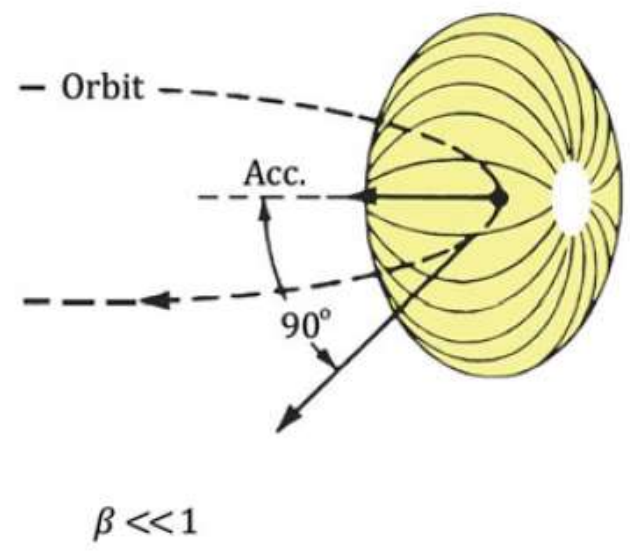
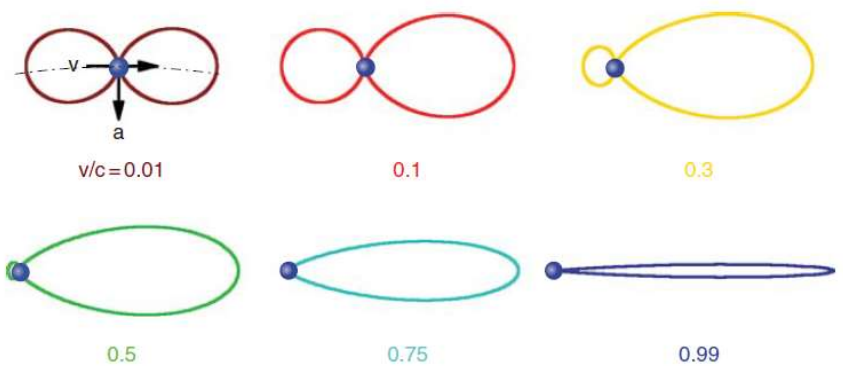
Insertion Devices

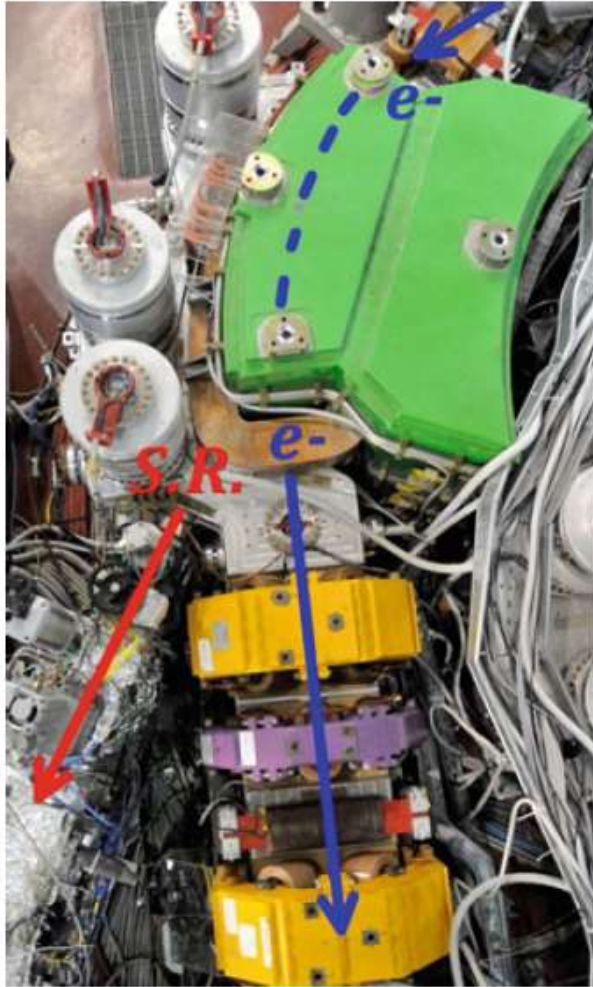
- wiggler
- undulator

Elettra

Operating Conditions

Energy range	0.75 – 2.5 GeV
Injection Energy	All energies up to 2.5 GeV
User Operating Energy	2.0 GeV (75% of user time) 2.4 GeV (25% of user time) 1.0 GeV (SR-FEL)
Operating mode	Top-up
Operating current (user request)	300 mA at 2.0 GeV (lifetime 26 h) 140 mA at 2.4 GeV (lifetime 40 h)
Top-up injection rate	1 mA every 6 min at 2.0 GeV 1 mA every 20 min at 2.4 GeV





Energia critica del magnete curvante

Elettra

Critical energy [keV]

3.2

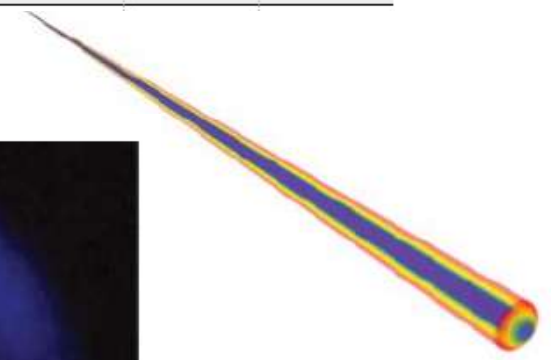
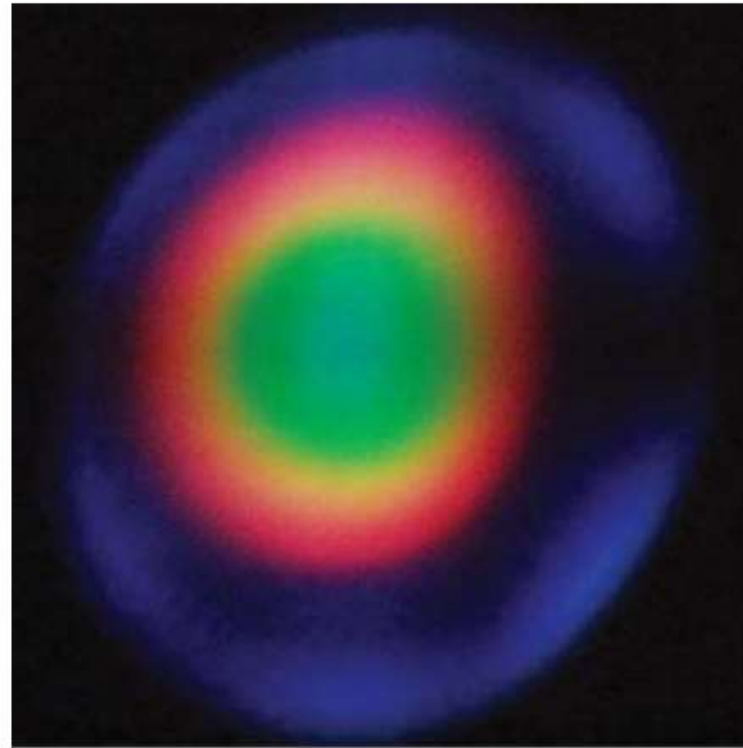
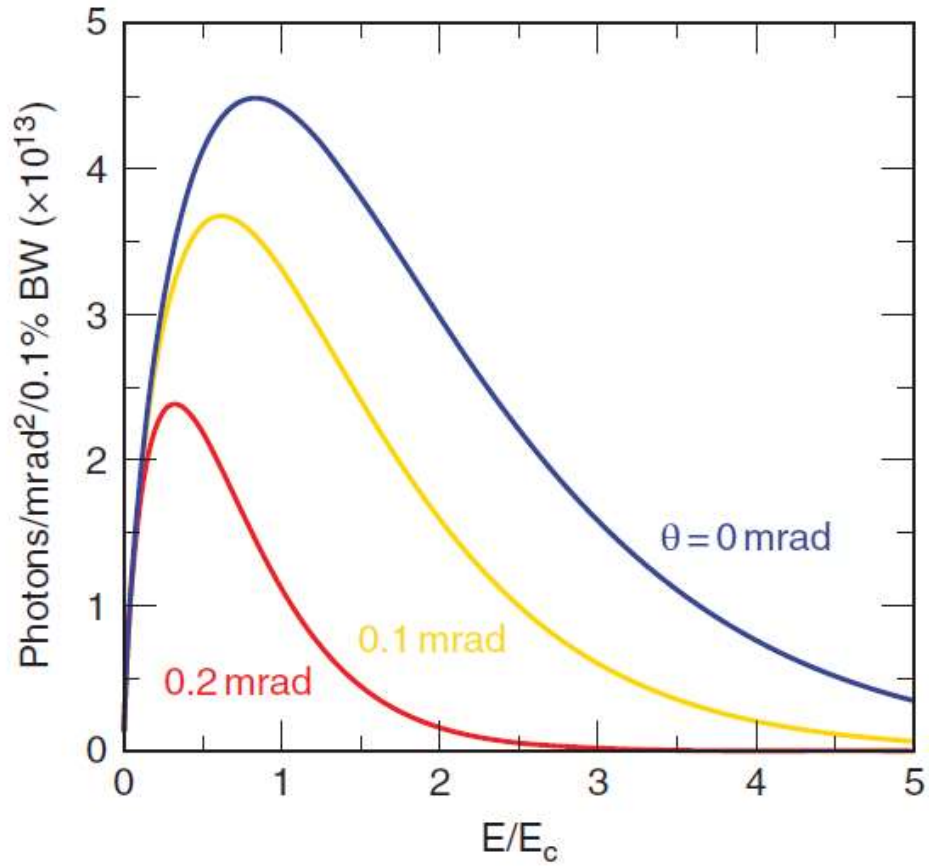
5.5

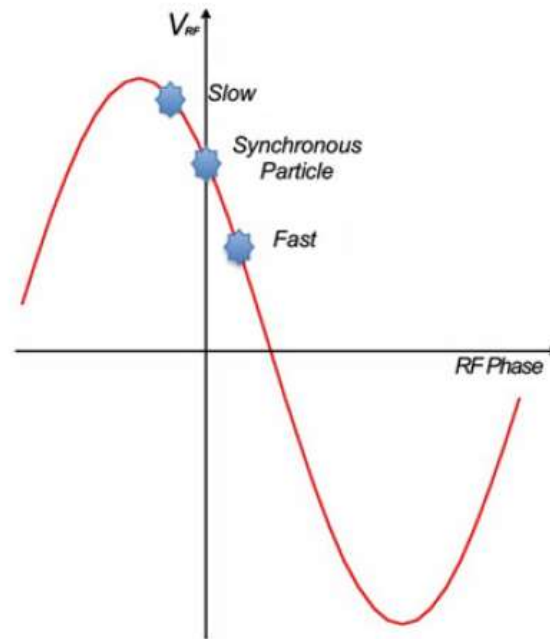
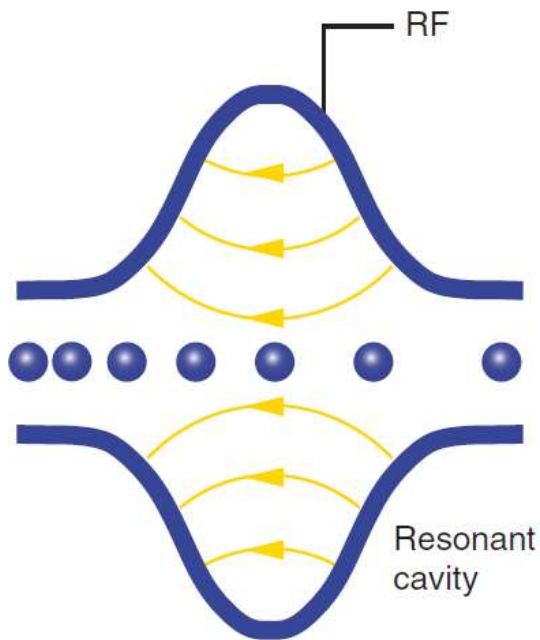
Bending magnet field [T]

1.2

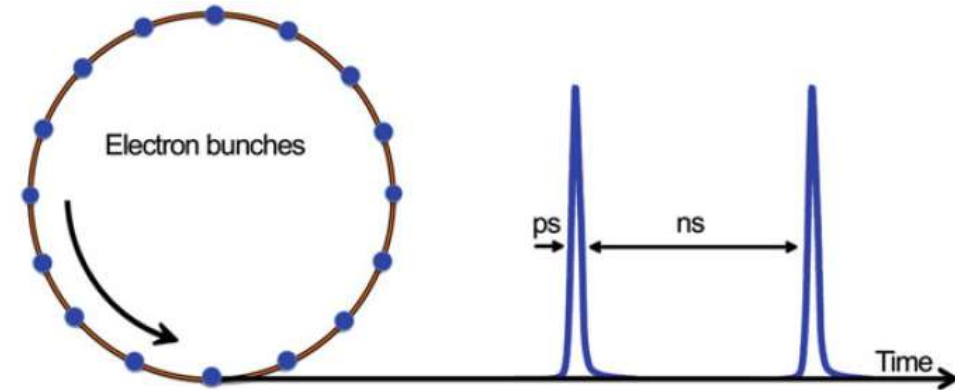
1.45

$$\hbar\omega_c[\text{keV}] = 0.665 \mathcal{E}^2[\text{GeV}] B[\text{T}]$$





Mobilio-Boscherini-Meneghini,
Synchrotron Radiation, Springer 2015



Filling pattern

Any (single, few, multi etc.); most requested multibunch filled at 95% of the ring circumference (864 ns) and hybrid (multibunch with a single bunch in the dark gap)

Bucket size (bunch to bunch distance in multi-bunch)

2 ns

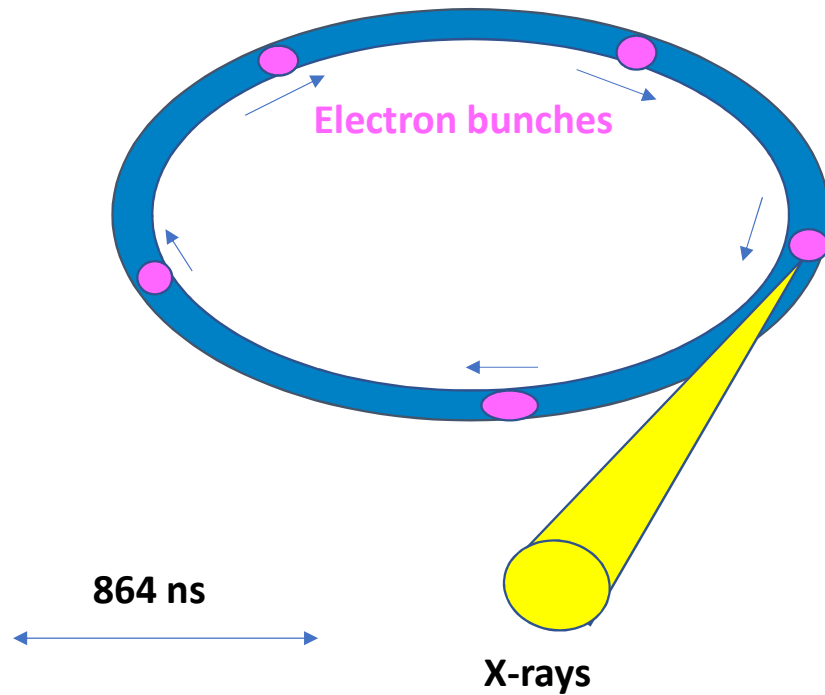
Dark gap when fill at 95%

43 ns

Operating details

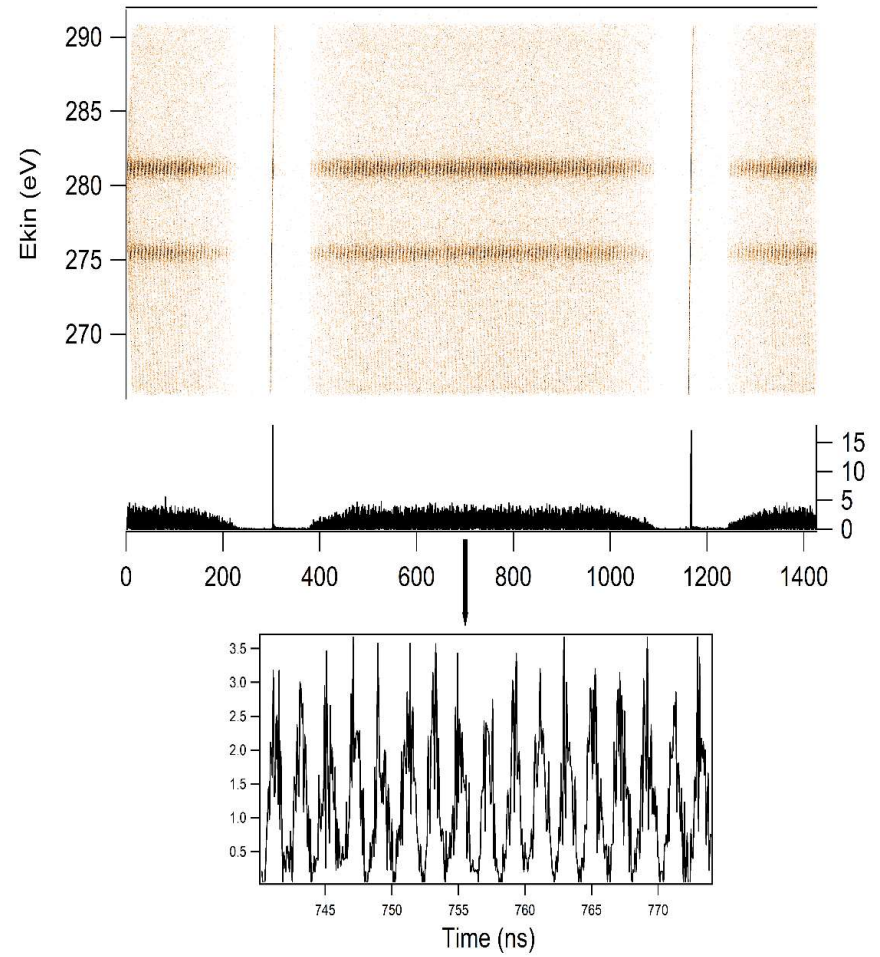
Long Lifetime - Instability Free
(multi-bunch and orbit fast Feedbacks and super-conducting 3rd harmonic cavity operating) Id gap/current control to the users

Synchrotron X-ray pulses



100 ps X-ray pulses

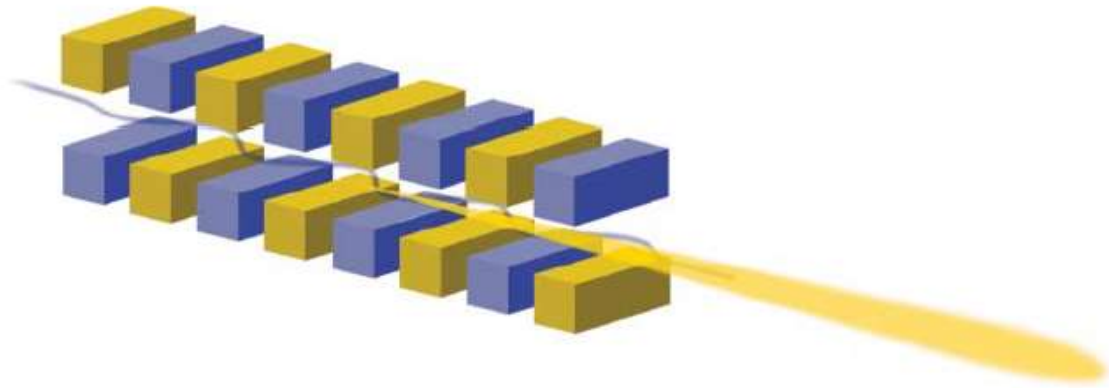
Electra filling pattern

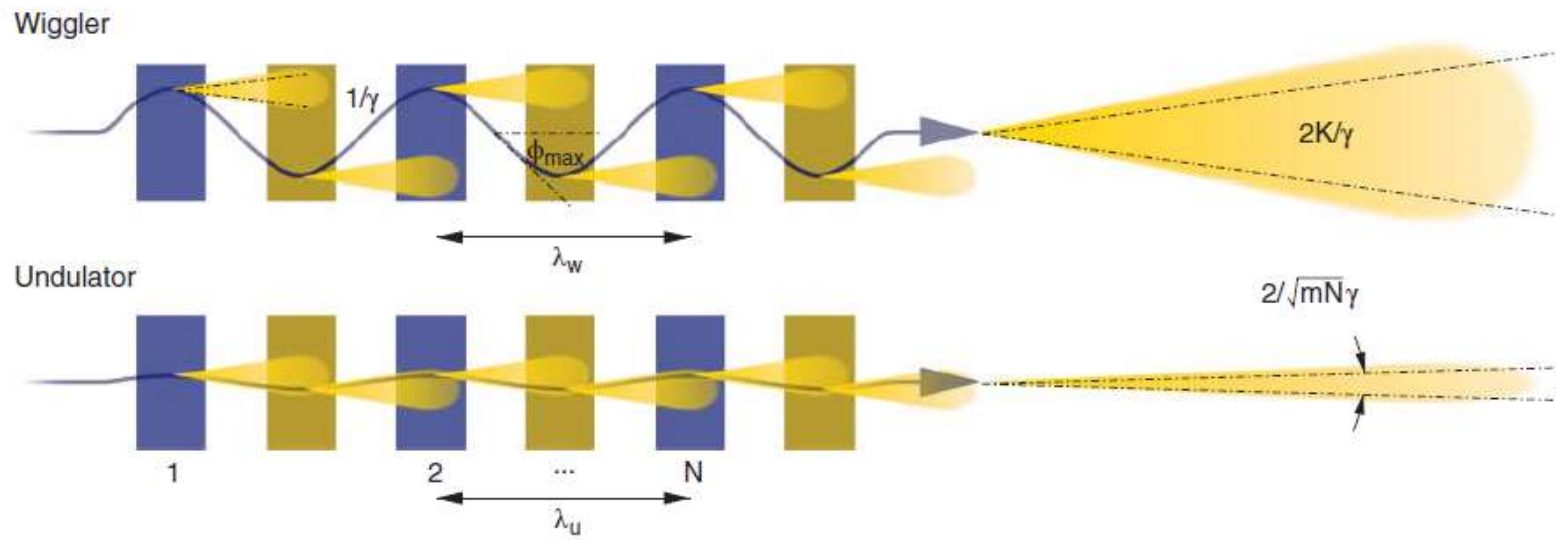


Elettra

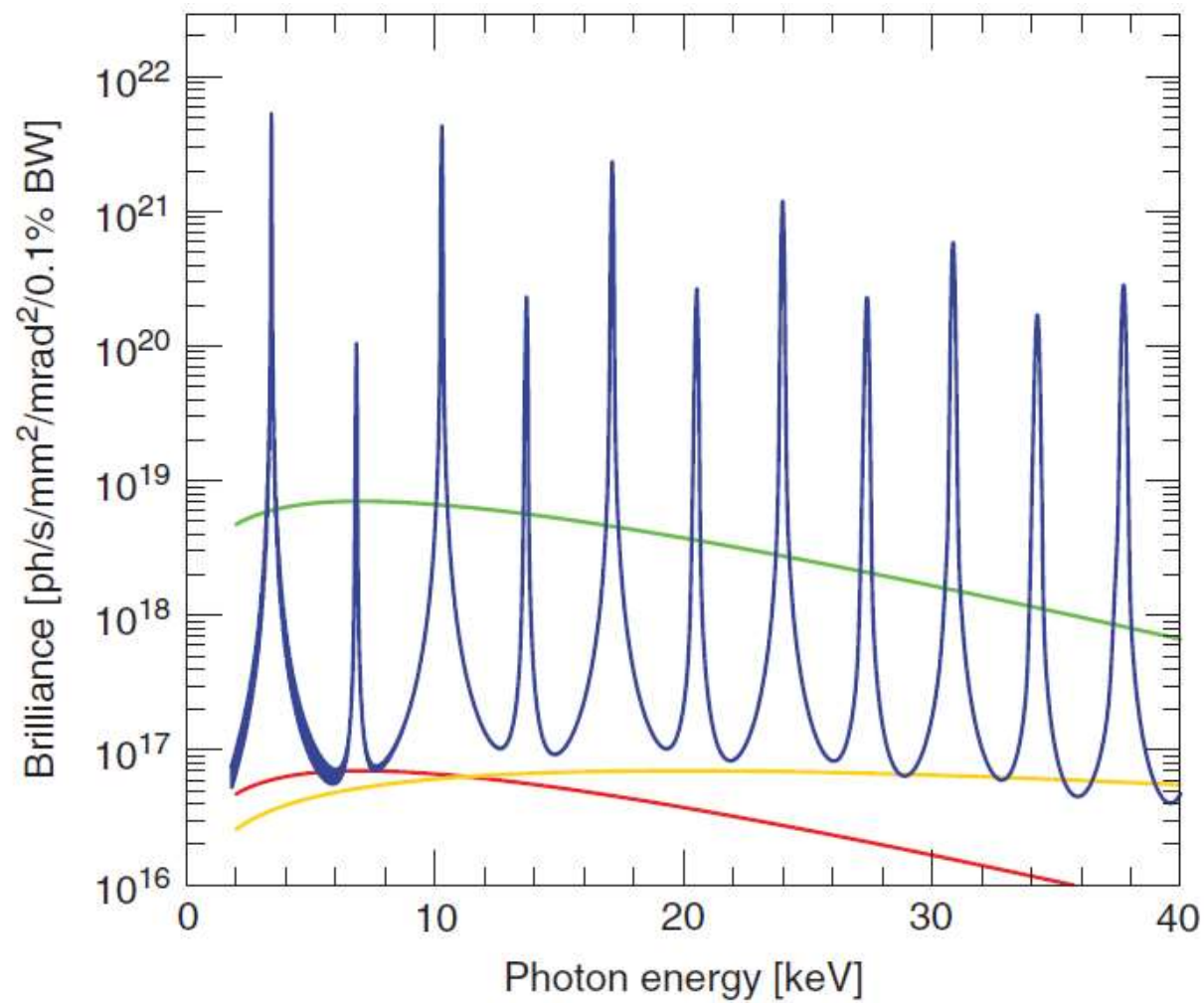
Beam energy [GeV]		2	2.4
Storage ring circumference [m]	259.2		
Beam height in experimental area [m]	1.3		
Number of achromats	12		
Length of Insertion Device (ID) straight sections [m]	6(4.8 utilizzabile per ID's)		
Number of straight sections of use for ID's	11		
Number of bending magnet source points	12		
Beam revolution frequency [MHz]	1.157		
Number of circulating electron bunches	1 - 432		
Time between bunches [ns]	864 - 2		
Bunch length (1σ) [mm] [*]		5.4	7





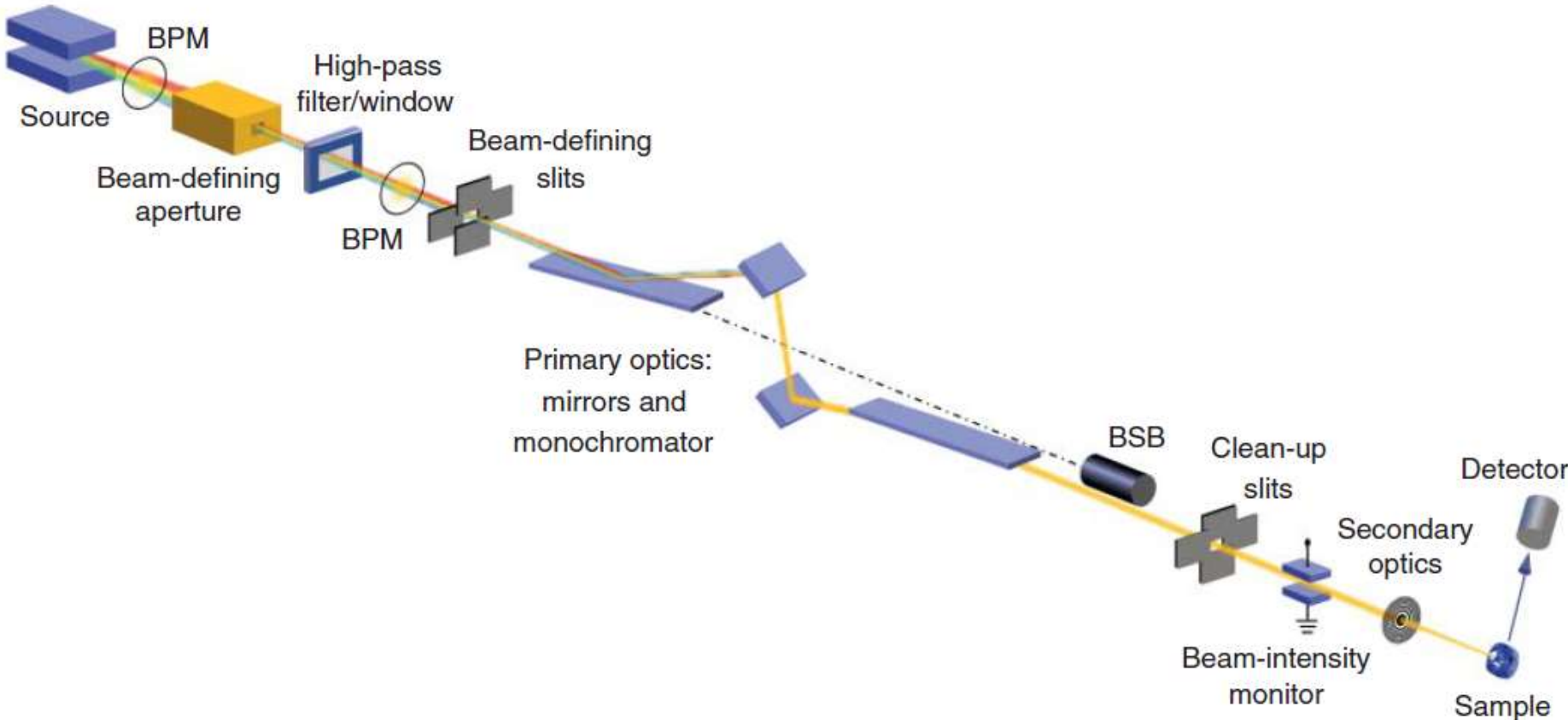


$$K = \frac{eB_0}{m_e c k_{u,w}} = 0.934 \lambda_{u,w}[\text{cm}] B_0[\text{T}]$$



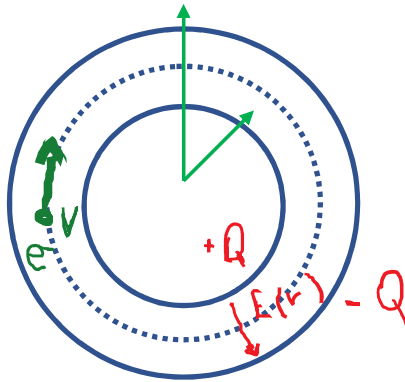
-  ondulatore
-  wiggler
-  Bending 4 gen (superbend)
-  Bending

Beamlines



L'analizzatore di elettroni emisferico





Condensatore sferico

Raggio interno: R_1

Raggio esterno: R_2

$$E(r) = \frac{Q}{4\pi\epsilon_0} \frac{1}{r^2}$$

$$\Delta V = \int_{R_1}^{R_2} E(r) dr = \frac{Q}{4\pi\epsilon_0} \left[\frac{1}{r} \right]_{R_1}^{R_2} = \frac{Q}{4\pi\epsilon_0} \left(\frac{1}{R_1} - \frac{1}{R_2} \right)$$

Consideriamo la traiettoria circolare di raggio intermedio.

In che condizioni un elettrone può percorrerla senza precipitare sulla sfera interna?

Se e^- ha velocità v , tangente alla traiettoria, sente una forza verso il

Centro peria: $F = eE$

Avrà traiettoria circolare se questa forza è pari alla forza centripeta

$$m \frac{v^2}{r} = eE$$

$$m \frac{v^2}{r} = eE$$

$$E(r) = \frac{Q}{4\pi\epsilon_0} \frac{1}{r^2}$$

$$\Delta V = \frac{Q}{4\pi\epsilon_0} \left(\frac{1}{R_1} - \frac{1}{R_2} \right)$$

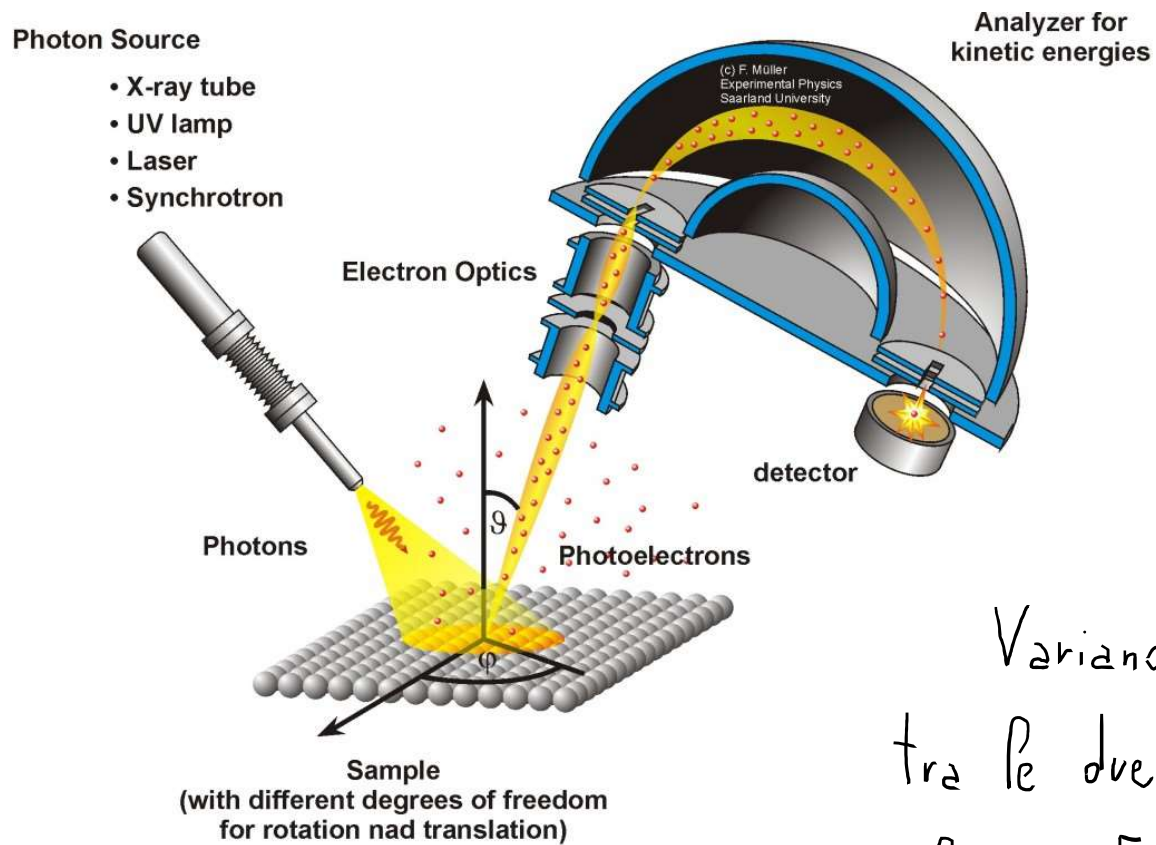
$$\frac{mv^2}{r} = e \frac{Q}{4\pi\epsilon_0} \frac{1}{r^2}$$

$$r = \frac{R_1 + R_2}{2} \quad (\text{regio intermedio})$$

$$Q = \Delta V \cdot 4\pi\epsilon_0 \frac{R_1 \cdot R_2}{R_2 - R_1}$$

$$= 2e\Delta V \frac{R_1 R_2}{R_2^2 - R_1^2}$$

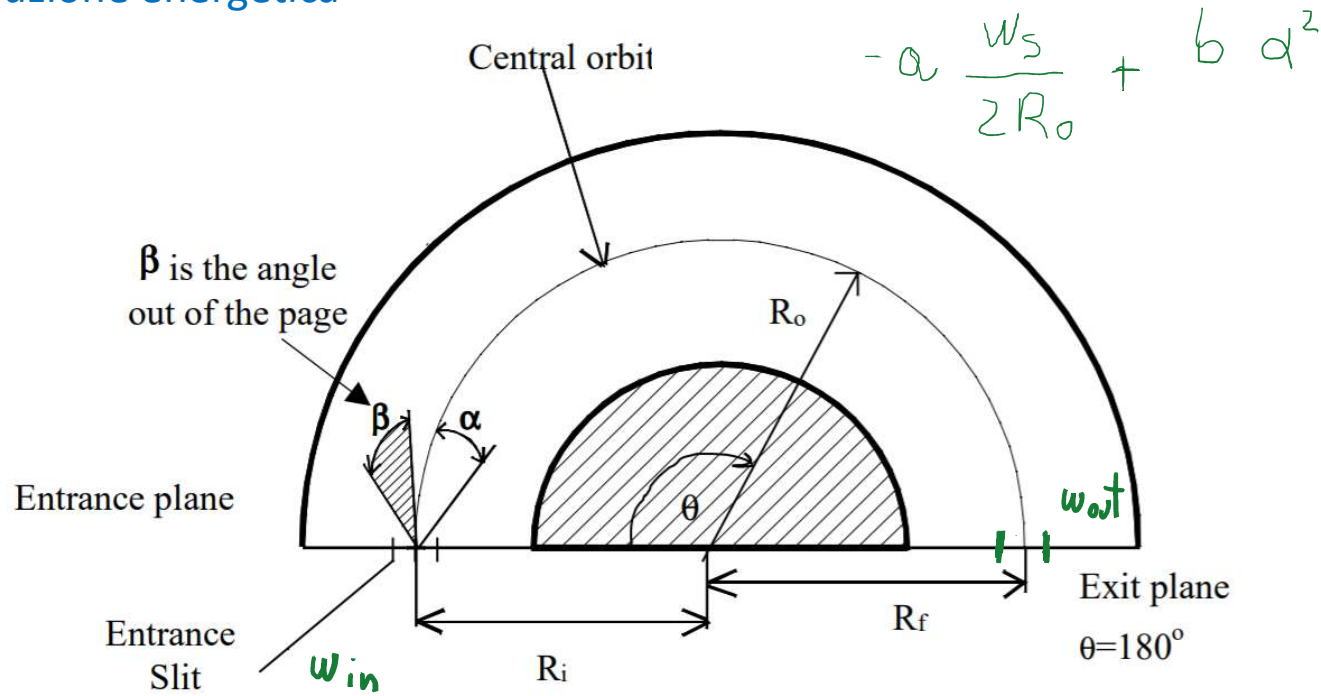
$$\frac{1}{2} mv^2 = e\Delta V \frac{R_1 R_2}{R_2^2 - R_1^2} = E_p \quad \text{pess energy}$$



<https://jacobs.physik.uni-saarland.de/>

Variando ΔV
tra le due emisfere
seleziono E_{kin} degli elettroni
che raggiungono il detector

Risoluzione energetica



$$\frac{\Delta E_p}{E_p} = -a \frac{w_s}{2R_o} + b q^2$$

$$w_s = w_{in} + w_{out}$$

a, b parametri dell'analizzatore

Read F.H, Comer J., Imhof R. E., Brunt J. N. and Harting E. Al. (1974), *Journal of Electron Spectroscopy and Related Phenomena* , 4, 293-312



Il detector

Come conto un elettrone?

In un esperimento posso avere l'esigenza di dover misurare flussi di elettroni molto bassi, di poche decine di elettroni al secondo

10 elettroni al secondo corrispondono ad una corrente di:

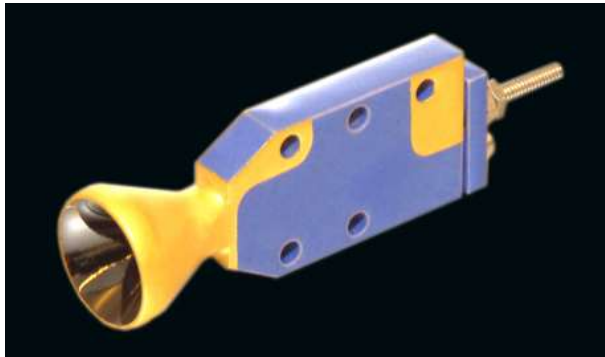
$$10 \times 1.6 \times 10^{-19} \text{ C/s} \sim 10^{-18} \text{ A}$$

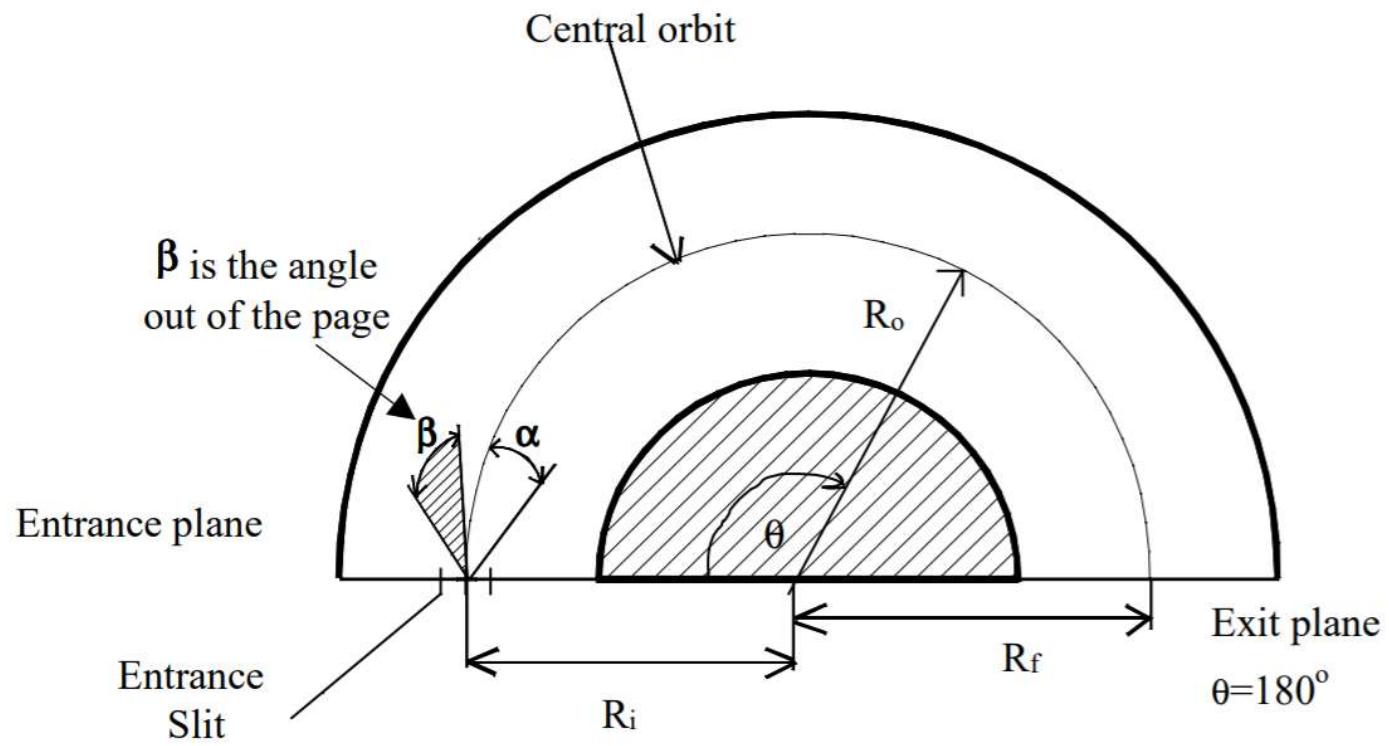
Misurare correnti dell'ordine del pA (10^{-15} A) è già molto complicato



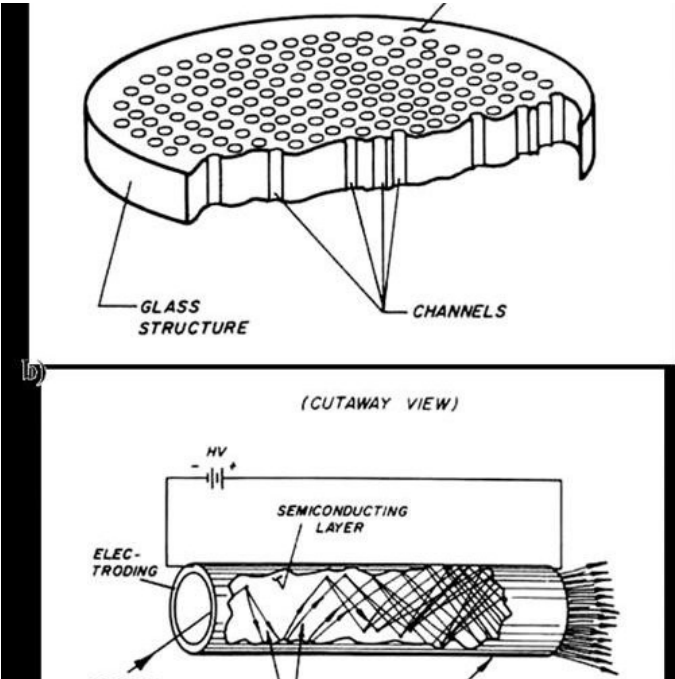
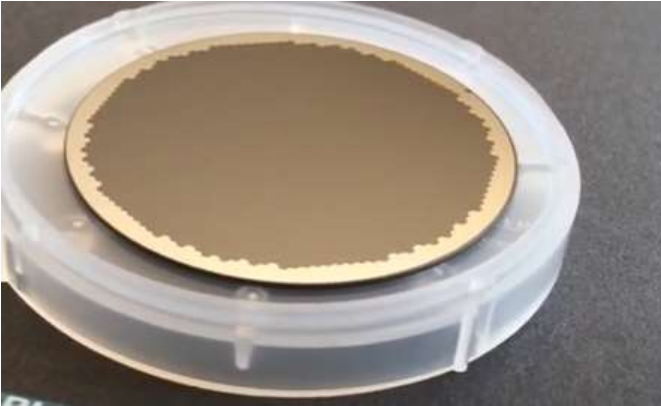
Serve amplificare il segnale

Channeltron





Microchannelplate (MCP)



Delay line

